

Impact du régime climatique sur l'hydrologie d'hydrosystèmes côtiers refuges au Sénégal

Raphaël LEGER

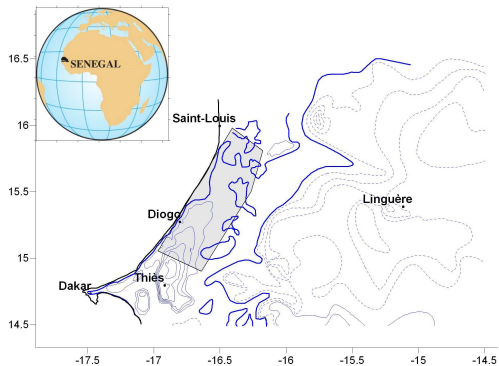
LSCE

23 Septembre 2008



instn

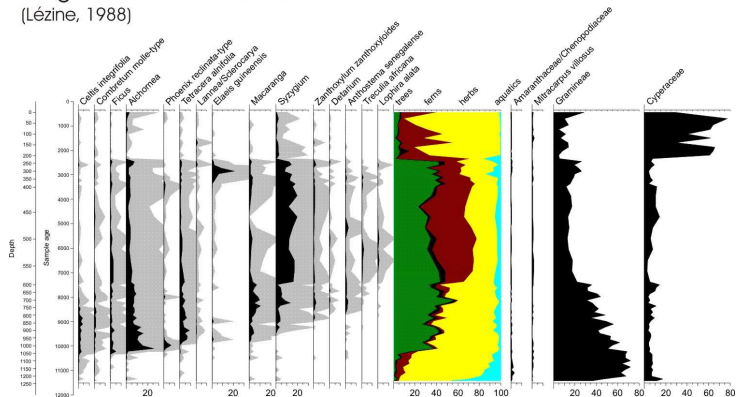
Introduction



Introduction



Diogo 2 - 15,16N - 16,48W (Lézine, 1988)



- Retard de 1500 / 2000 ans de l'installation (progressive) de la forêt guinéenne par rapport au début de la période humide africaine.
- Dégradation progressive de cette végétation après la fin de la période humide africaine (7500 BP).
- Une pulsation humide vers 3500 BP.
- Passage à une végétation sahélienne, avec reliques de forêt guinéenne à 2500 BP.

Objectifs :

- Déterminer le profil hydrogéologique passé de la région des Niayes.
- Comprendre les conditions du maintien de la végétation.

Stratégie :

- Calage du modèle sur la piézométrie de juillet 1975 (modèle permanent).
- Modification du forçage et simulations à 9000BP, 6000BP, 2000BP.

Outils :

- Eléments finis mixtes hybrides.
- Nouveau modèle de nappe libre.
- Cast3m.

Plan

- 1 Rappels
 - Ecoulement d'une nappe
 - Eléments finis mixtes hybrides (EFMH)
 - Traîtement des non linéarités
- 2 Un nouveau modèle de nappe libre
 - Motivations
 - Evaluation de $(S = S(p))$ et $(K = K(S))$
 - Validation sur un cas test
- 3 Application à l'étude de l'hydrogéologie des Niayes
 - Construction du modèle
 - Résultats
 - Conclusion

Plan

- 1 Rappels
 - Ecoulement d'une nappe
 - Éléments finis mixtes hybrides (EFMH)
 - Traîtement des non linéarités
- 2 Un nouveau modèle de nappe libre
 - Motivations
 - Evaluation de $(S = S(p))$ et $(K = K(S))$
 - Validation sur un cas test
- 3 Application à l'étude de l'hydrogéologie des Niayes
 - Construction du modèle
 - Résultats
 - Conclusion

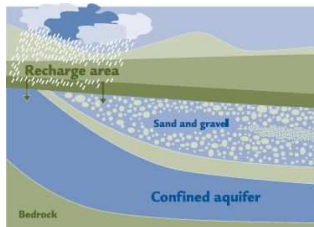
Ecoulement d'une nappe.

Ecoulement d'une nappe captive (hypothèse d'un aquifère saturé):

$$\left\{ \begin{array}{l} \mathbf{u} = -K_{\text{sat}} \nabla h \quad \text{loi de Darcy,} \\ S_s \frac{\partial h}{\partial t} + \text{div } \mathbf{u} = q \quad \text{conservation de la masse,} \\ + \text{CL} + \text{CI,} \end{array} \right.$$

où $S_s = g \frac{d(\rho\omega)}{dp}$ est le coef. d'emmagasinement spécifique (m^{-1}).

Equation linéaire

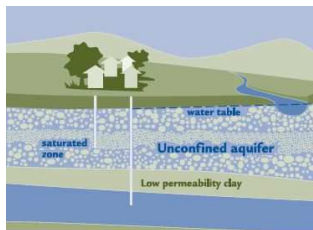


Ecoulement d'une nappe libre :

$$\left\{ \begin{array}{l} \mathbf{u} = -\mathbf{K}(h)\nabla h \quad \text{loi de Darcy,} \\ C(p)\frac{\partial h}{\partial t} + \operatorname{div} \mathbf{u} = \mathbf{q} \quad \text{équation de Richards,} \\ + \text{Conditions aux limites} + \text{Conditions initiales,} \end{array} \right.$$

où $C(p) = \frac{d\theta}{dh}$ est la capacité capillaire (m^{-1}).

Equation non linéaire

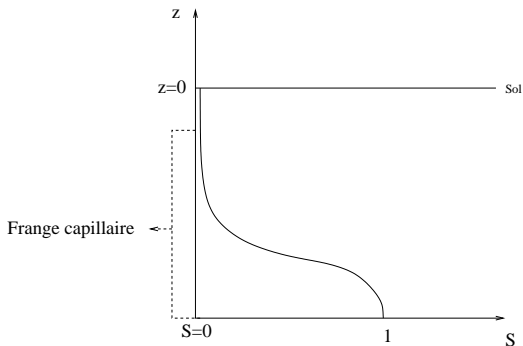


$$S = S(h)$$

- Van-Genuchten :

$$S(h) = \begin{cases} [1 + (h/h_e)^n]^{-m} & \text{si } h > 0, \\ 1 & \text{si } h \leq 0, \end{cases}$$

avec $m + n^{-1} = 1$ et h_e le paramètre d'échelle de Van-Genuchten.



$$S = S(h)$$

- Van-Genuchten :

$$S(h) = \begin{cases} [1 + (h/h_e)^n]^{-m} & \text{si } h > 0, \\ 1 & \text{si } h \leq 0, \end{cases}$$

avec $m + n^{-1} = 1$ et h_e le paramètre d'échelle de Van-Genuchten.

$$K = K(S).$$

- Brooks & Corey :

$$K(S) = K_{sat} (S)^\eta,$$

où η est un paramètre de forme compris entre 1 et 5.

- On définit la perméabilité résiduelle :

$$k_r = \frac{K}{K_{sat}}$$

Éléments finis mixtes hybrides

Formulation mixte.

- Ouvert borné de \mathbb{R}^3 : Ω , de frontière Γ , dont Γ_n et Γ_d forment une partition.
- On définit :

$$H^1(\Omega) = \left\{ v \in L^2(\Omega) / \frac{\partial v}{\partial x_i} \in L^2(\Omega), \text{ pour } i = 1, 2, 3 \right\},$$

et

$$H(\text{div}, \Omega) = \left\{ \mathbf{q} \in \left(L^2(\Omega) \right)^3 / \text{div } \mathbf{q} \in L^2(\Omega) \right\}.$$

On considère le problème fort :

Trouver $(\mathbf{u}, h) \in L^2(0, T, H(\text{div}, \Omega)) \times L^2(0, T, H^1(\Omega))$ solution de :

$$\begin{cases} C \frac{\partial h}{\partial t} + \text{div } \mathbf{u} = q, \\ \mathbf{K}^{-1} \mathbf{u} + \nabla h = \mathbf{0}, \\ h = h_d \text{ sur } \Gamma_D, \\ \mathbf{u} \cdot \mathbf{n} = u_n \text{ sur } \Gamma_N, \\ h(0, \cdot) = h_0. \end{cases}$$

Formulation variationnelle mixte

- Trouver $(\mathbf{u}, h) \in L^2(0, T, H(\text{div}, \Omega)) \times L^2(0, T, L^2(\Omega))$ solution de :

$$\left\{ \begin{array}{l} \int_{\Omega} C \frac{\partial h}{\partial t} \cdot \psi \cdot d\mathbf{x} + \int_{\Omega} \text{div } \mathbf{u} \cdot \psi \cdot d\mathbf{x} = \int_{\Omega} \mathbf{q} \cdot \psi \cdot d\mathbf{x}, \quad \forall \psi \in L^2(\Omega), \\ \int_{\Omega} \mathbf{K}^{-1} \mathbf{u} \cdot \varphi \cdot d\mathbf{x} - \int_{\Omega} h \cdot \text{div } \varphi \cdot d\mathbf{x} + \int_{\Gamma_D} h_d \cdot \varphi \cdot \mathbf{n} \cdot d\gamma = 0, \quad \forall \varphi \in H_{\Gamma_n}(\text{div}, \Omega), \\ \mathbf{u} \cdot \mathbf{n} = u_n \text{ sur } \Gamma_N, \\ h(0, \cdot) = h_0. \end{array} \right.$$

Hybridation.

- On n'impose pas la continuité des champs de valeurs aux faces.
- Intégrations par parties sur chaque T_i au lieu de Ω_h .
- Nouvelle inconnue Th (trace de charge).

Discrétisation spatiale :

- Soit une partition de Ω_h de N_e éléments T_i , d'arêtes A_h :

$$\Omega_h = \bigcup_{1 \leq i \leq N_e} T_i.$$

- On définit :

$$V_h = \{v_h : \Omega_h \mapsto \mathbb{R} / v_h \text{ constant } \forall T_i \in \Omega_h\},$$

et

$$W_h = \left\{ \mathbf{w}_h : \Omega_h \mapsto \mathbb{R}^3 / \mathbf{w}_h \cdot \mathbf{n}_i \text{ constant } \forall A_i \in A_h \right\}.$$

Problème discrétisé :

- Trouver le couple $(\mathbf{u}_h, h_h) \in W_h \times V_h$ solution de :

$$\left\{ \begin{array}{l} \int_{\Omega_h} C \frac{\partial h_h}{\partial t} \cdot \psi_h \cdot d\mathbf{x} + \int_{\Omega_h} \operatorname{div} \mathbf{u}_h \cdot \psi_h \cdot d\mathbf{x} = \int_{\Omega_h} \mathbf{q}_h \cdot \psi_h \cdot d\mathbf{x}, \quad \forall \psi_h \in V_h, \\ \int_{\Omega_h} \mathbf{K}^{-1} \mathbf{u}_h \cdot \varphi_h \cdot d\mathbf{x} - \int_{\Omega_h} h_h \cdot \operatorname{div} \varphi_h \cdot d\mathbf{x} + \int_{\Gamma_D} h_h \cdot \varphi_h \cdot \mathbf{n} \cdot d\gamma = 0, \quad \forall \varphi_h \in W_{h, \Gamma_n}, \\ \mathbf{u}_h \cdot \mathbf{n} = u_n \text{ sur } \Gamma_N, \\ h(0, \cdot) = h_0. \end{array} \right.$$

Th (trace de charge), recherchée dans

$$N_h^* = \bigcup_{T_i} N_h^{T_i},$$

$$N_h^{T_i} = \{f : \Gamma_{T_i} \mapsto \mathbb{R} / \forall A_j \in \Gamma_{T_i}, f \text{ restreint à } A_j \text{ est constant}\}.$$

\mathbf{u}_h est recherché dans

$$W_h^* = \bigcup_{T_i} W_h^{T_i},$$

$$W_h^{T_i} = \left\{ \mathbf{q} : T_i \mapsto \mathbb{R}^3 / \forall A_j \in \Gamma_{T_i}, \mathbf{q} \cdot \mathbf{n} \text{ restreint à } A_j \text{ est constant} \right\}.$$

Le problème EFMH discret s'écrit :

- Trouver $(\mathbf{u}_h, h_h, Th) \in W_h^* \times V_h \times N_h^*$ solution de :

$$\left\{ \begin{array}{l} \int_{T_i} C \frac{\partial h_h}{\partial t} \cdot \psi_h \cdot d\mathbf{x} + \int_{T_i} \operatorname{div} \mathbf{u}_h \cdot \psi_h \cdot d\mathbf{x} = \int_{T_i} \mathbf{q}_h \cdot \psi_h \cdot d\mathbf{x}, \quad \forall \psi_h \in V_h, \forall T_i \in \Omega_h, \\ \int_{T_i} \mathbf{K}^{-1} \mathbf{u}_h \cdot \varphi_h \cdot d\mathbf{x} - \int_{T_i} h_h \cdot \operatorname{div} \varphi_h \cdot d\mathbf{x} + \int_{\Gamma_{T_i}} Th \cdot \varphi_h \cdot \mathbf{n}_i \cdot d\gamma = 0, \quad \forall \varphi_h \in W_h^{T_i}, \forall T_i \\ \mathbf{u}_h \cdot \mathbf{n} = u_n \text{ sur } \Gamma_N, \\ \mathbf{u}_{T_k} \cdot \mathbf{n}_{j, T_k} + \mathbf{u}_{T_l} \cdot \mathbf{n}_{j, T_l} = 0, \quad \forall A_j \in T_k \cap T_l \\ Th_{j, T_k} = Th_{j, T_l}, \quad \forall A_j \in T_k \cap T_l, \\ Th = h_d \text{ sur } \Gamma_D, \\ \mathbf{u}_h \cdot \mathbf{n} = u_n \text{ sur } \Gamma_N, \\ h_h(0, \cdot) = h_{h_0}. \end{array} \right.$$

Avantages des EFMH :

- Résolution conjointe de la loi de Darcy et de l'équation de conservation de la masse.
- Approximation simultanée de h et \mathbf{u} avec le même ordre de convergence.
- Bilan de masse maille par maille adapté à la physique du problème.
- Une certaine robustesse face aux anisotropies et aux hétérogénéités.

Inconvénients :

- Les matrices sont plus pleines qu'en EF standards.
- Les matrices ne sont pas nécessairement définies positives (conditions sur la géométrie des mailles et le Fourier de maille).

Traîtement des non linéarités / Solveur itératif dit "de Picard".

- On dispose de \mathbf{K}_i et h_i .
- On détermine h_{i+1} en résolvant

$$\begin{cases} \operatorname{div}(-\mathbf{K}_i^r \nabla h_{i+1}) = q, \\ + \text{Conditions aux limites,} \end{cases}$$

avec $\mathbf{K}_i^r = \alpha \mathbf{K}_{i-1} + (1 - \alpha) \mathbf{K}_i$ (sous-relaxation).

- On détermine $S_{i+1}(h_{i+1})$ puis $\mathbf{K}_{i+1}(S_{i+1})$.
- Critères de précision et de convergence :

$$|\operatorname{div}(-\mathbf{K}_{i+1} \nabla h_{i+1}) - q| \leq \epsilon_1, \text{ avec } \epsilon_1 \text{ fixé.}$$

et

$$|h_{i+1} - h_i| \leq \epsilon_2, \text{ avec } \epsilon_2 \text{ fixé.}$$

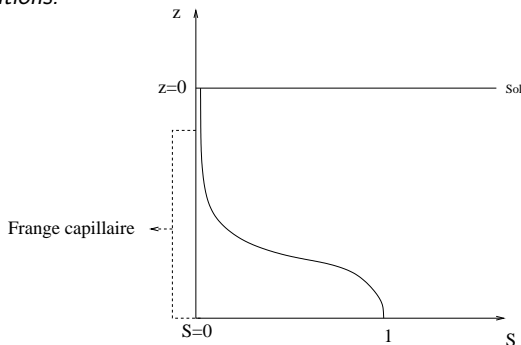
- Si oui, on a la solution. Si non,

$$\mathbf{K}_i \leftarrow \mathbf{K}_{i+1},$$

$$h_i \leftarrow h_{i+1}.$$

Plan

- 1 Rappels
 - Ecoulement d'une nappe
 - Eléments finis mixtes hybrides (EFMH)
 - Traitement des non linéarités
- 2 Un nouveau modèle de nappe libre
 - Motivations
 - Evaluation de $(S = S(p))$ et $(K = K(S))$
 - Validation sur un cas test
- 3 Application à l'étude de l'hydrogéologie des Niayes
 - Construction du modèle
 - Résultats
 - Conclusion

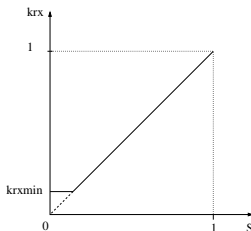
Motivations.

- Problèmes :
 - Méconnaissance du profil ?
 - Epaisseur de la frange capillaire petite devant les dimensions de l'aquifère ?
- Une solution : Transition sur une maille verticale

Lois de perméabilité relative

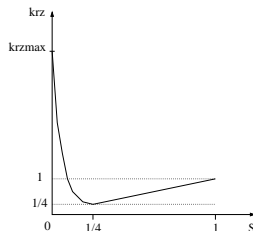
Modèle anisotrope.

Perméabilité relative horizontale.



$$k_{rx}^{min} = 10^{-3}$$

Perméabilité relative verticale.



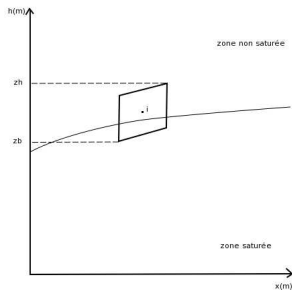
$$k_{rz}^{max} = 10^3$$

- Comportement linéaire.
- k_{rmin} pour que le tenseur de perméabilité soit inversible.
- Transition cubique vers k_{rmax}^z aux faibles saturations pour permettre à l'eau de s'écouler au travers de la zone désaturée.

Evaluation de la saturation

Méthode "centrée".

- On affecte au centre de chaque maille sa fraction mouillée.



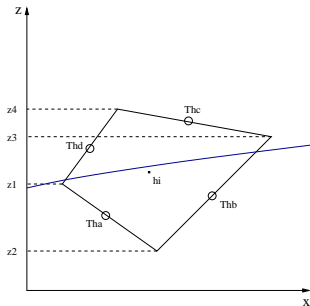
$$S_i = \max \left(0; \min \left(1; \frac{h_i - z_b}{z_h - z_b} \right) \right),$$

où h_i est la charge au centre.

$$kr_i = kr(S_i).$$

Méthodes "décentrées".

- On affecte à chaque face sa fraction mouillée.



$$S_j = \frac{Th_j - z_b^j}{z_h^j - z_b^j},$$

où Th_j est la trace de charge sur la face j .

- Puis on moyenne.
 - Moyenne arithmétique :

$$kr_i = \frac{1}{4} \sum_j kr(S_j),$$

- Moyenne harmonique,

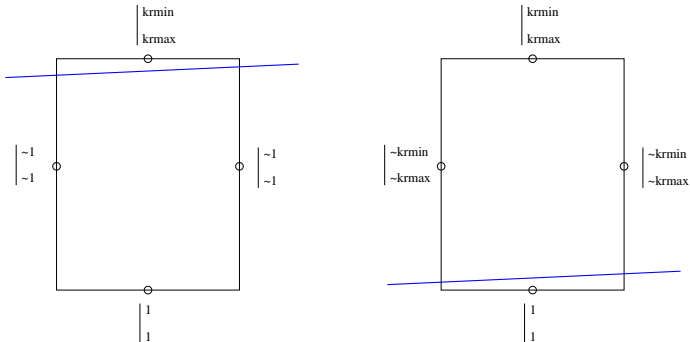
$$kr_i = 4 \left(\sum_j \frac{1}{kr(S_j)} \right)^{-1},$$

- Moyenne géométrique :

$$kr_i = \left(\prod_j kr(S_j) \right)^{1/4}.$$

Problèmes liés aux méthodes décentrées. (i)

- Aux saturations extrêmes, mauvaise estimation de k_r due à l'opération de moyenne.



- Solution 1: moyenne sur les faces non saturées uniquement ("Libre NS").
- Solution 2: moyenne sur les faces non totalement désaturées en x et non saturées en z ("Libre S/NS").

Problèmes liés aux méthodes décentrées. (ii)

	Maille quasi-saturée		Maille quasi-désaturée	
	k_{rx}^c	k_{rz}^c	k_{rx}^c	k_{rz}^c
(ii) Moyenne arithmétique	$\frac{3}{4}$	$\frac{1}{4} k_{rz}^{max}$	$\frac{1}{4}$	$\frac{3}{4} k_{rz}^{max}$
(iii) Moyenne harmonique	$4 k_{rx}^{min}$	$\frac{4}{3}$	$\frac{4}{3} k_{rx}^{min}$	4
(iv) Moyenne géométrique	$(k_{rx}^{min})^{1/4}$	$(k_{rz}^{max})^{1/4}$	$(k_{rx}^{min})^{3/4}$	$(k_{rz}^{max})^{3/4}$
(v) Moyenne "Libre NS"	$\sim \frac{2}{3}$	$\sim \frac{2}{3} k_{rz}^{max}$	$\sim k_{rx}^{min}$	$\sim k_{rz}^{max}$
(vi) Moyenne "Libre S/NS"	~ 1	$\sim \frac{2}{3} k_{rz}^{max}$	$\sim \frac{1}{3}$	$\sim k_{rz}^{max}$
Estimation attendue	~ 1	~ 1	$\sim k_{rx}^{min}$	$\sim k_{rz}^{max}$

- Erreurs d'approximation de plusieurs ordres de grandeurs (rouge).

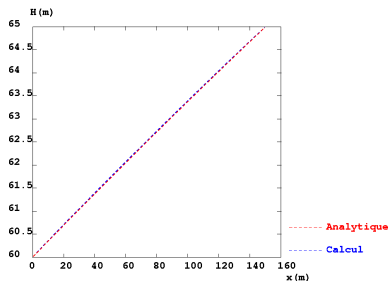
Validation sur un cas test.

- Massif rectangulaire 2D (150m × 100m).
- Charge fixée sur les bords verticaux.
- Flux imposé sur la surface.
- Maillage rectangulaire à faces horizontales.
- Solution analytique de Dupuit (pas de flux verticaux, écoulement unidimensionnel) :

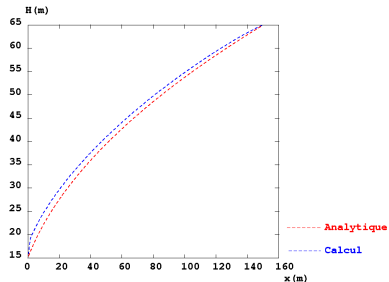
$$\begin{cases} -\frac{\partial}{\partial x} \left(T(h) \frac{\partial h}{\partial x} \right) = 0, \\ h(0) = h_g, \\ h(L) = h_d. \end{cases}$$

$$h(x) = \left[\left(\frac{h_d^2 - h_g^2}{L} \right) x + h_g^2 \right]^{1/2}.$$

Pertinence de la solution analytique de Dupuit.



OK si les gradients sont faibles.

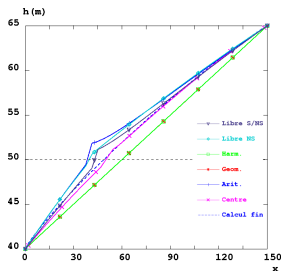


Pas OK sinon.

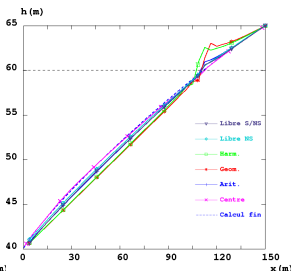
- La solution de Dupuit ne tient pas compte d'éventuels apports verticaux à l'écoulement. Elle perd en validité dès l'apparition de gradients verticaux significatifs.

Effet du type de moyenne. (i)

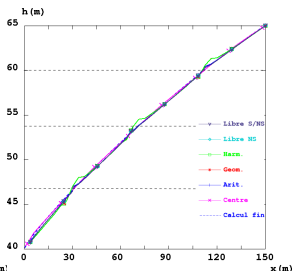
- $q_{surface} = 0.$



2 mailles verticales.



5 mailles verticales.

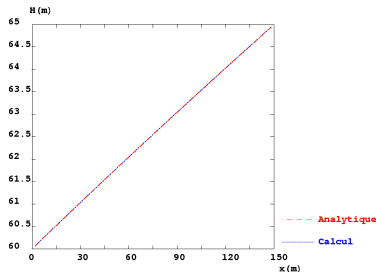
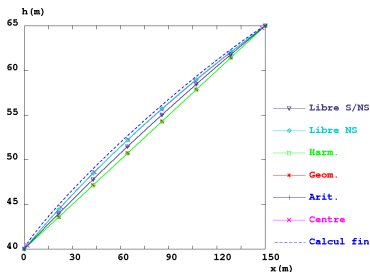


15 mailles verticales.

	Calc. Fin	Centre	Arit.	Géom.	Harmo.	Libre "NS"	Libre "S/NS"
Q_g	$3,0646 \cdot 10^{-4}$	$3,0644 \cdot 10^{-4}$	$3,0932 \cdot 10^{-4}$	$2,4649 \cdot 10^{-4}$	$2,4842 \cdot 10^{-4}$	$2,8861 \cdot 10^{-4}$	$3,2850 \cdot 10^{-4}$
Erreur	-	~ 0%	~ 0%	18%	19%	6%	7%

Effet du type de moyenne. (ii)

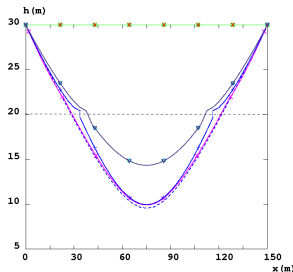
- $q_{surface} = 0$ (une maille verticale)



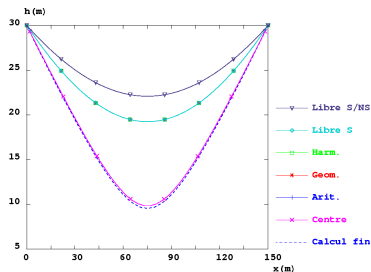
	Calc. Fin	Centre	Arit.	Géom.	Harmo.	Libre "NS"	Libre "S/NS"
Q_g	$3,0646 \cdot 10^{-4}$	$3,0423 \cdot 10^{-4}$	$2,9762 \cdot 10^{-4}$	$5,8333 \cdot 10^{-7}$	$5,8333 \cdot 10^{-7}$	$2,0132 \cdot 10^{-4}$	$3,9683 \cdot 10^{-4}$
Erreur	-	~ 0%	~ 2%	> 100%	> 100%	34%	29%

Effet du type de moyenne. (iii)

- $q_{surface} \neq 0$.



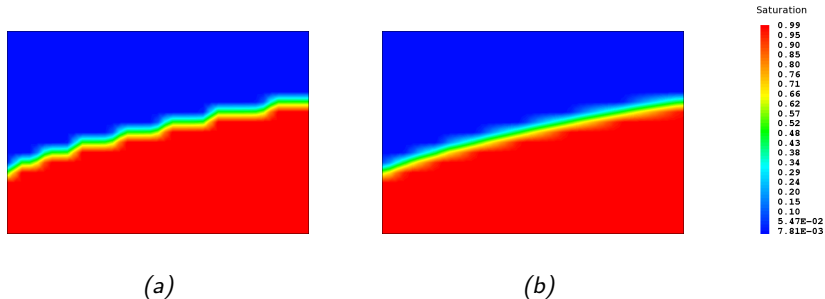
5 mailles verticales.



1 maille verticale.

- Comportement satisfaisant de la méthode centrée (lié à la nature du maillage : rectangulaire à faces horizontales).
- Les moyennes géométriques et harmoniques sont disqualifiées.

Comparaison avec le modèle de Van-Genuchten.



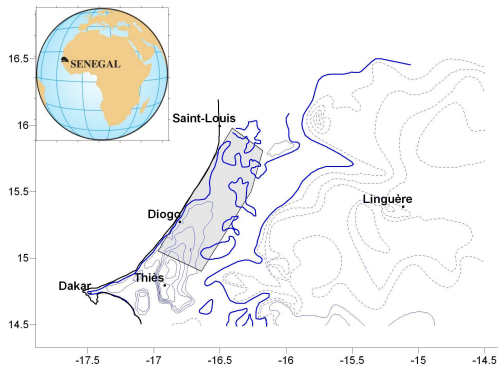
Profil de saturation

- (a) Van-Genuchten,
- (b) notre modèle de nappe libre.

Plan

- 1 Rappels
 - Ecoulement d'une nappe
 - Eléments finis mixtes hybrides (EFMH)
 - Traitement des non linéarités
- 2 Un nouveau modèle de nappe libre
 - Motivations
 - Evaluation de $(S = S(p))$ et $(K = K(S))$
 - Validation sur un cas test
- 3 Application à l'étude de l'hydrogéologie des Niayes
 - Construction du modèle
 - Résultats
 - Conclusion

Construction du modèle

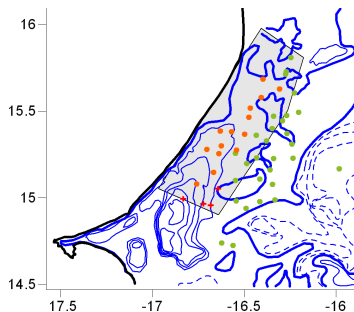


Conditions aux limites.

- Sur la côte, à l'est, à l'ouest : $h = 0$.
- Au sud : $\frac{\partial h}{\partial n} = 0$ (crête piézométrique).
- Sur la topographie : flux dus aux pompages agricoles et à l'infiltration.
 - Pompages agricoles : $132L/s$, répartis uniformément sur la nappe, cf BRGM 1986.
 - Infiltration fixée entre $-1mm/an$ (au nord) et $6.8mm/an$ (au sud), cf thèse S.FAYE 1995.
- Sur la topographie : condition de suintement : $h \leq z_{topo}$.

Perméabilité.

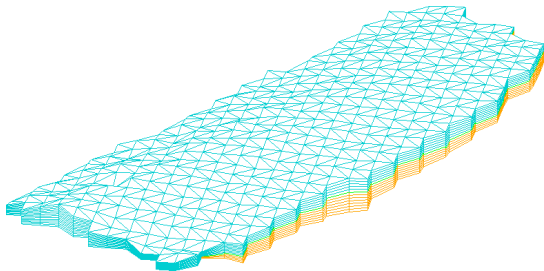
- 14 mesures pour les sables (orange) + 4 *points de calage* (rouge).
- 29 mesures pour les calcaires (vert).



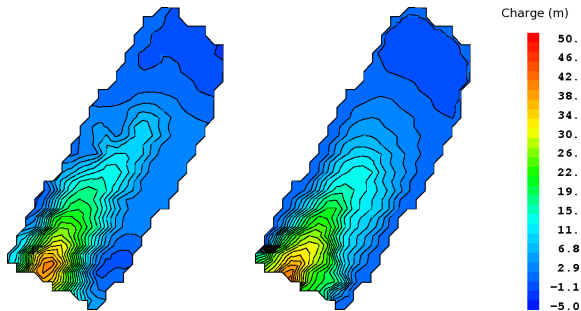
	Sables	Calcaires
K (m/s)	$\sim 10^{-4}/10^{-5}$	$\sim 10^{-3}/10^{-4}$

Maillage

- ~ 9000 prismes.
- 12 mailles verticales.



Résultat du calage (juillet 1975).



Piézométrie observée.

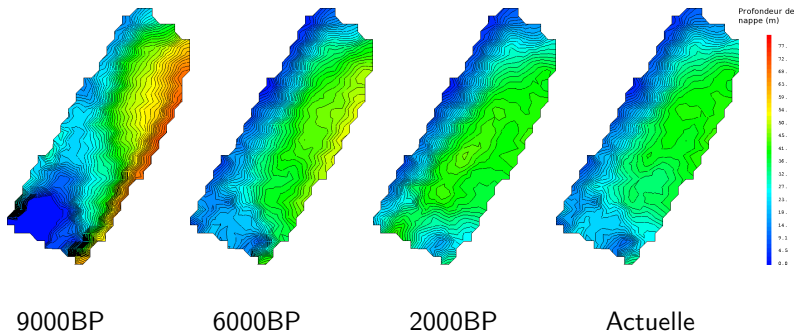
Calage du modèle.

Modifications du forçage.

	Infiltration	Niveau de la mer	Charge orientale
9000 BP	\sim Actuelle $\times 2$	-30m	-30m
6000 BP	Actuelle	+2m	-10m
2000 BP	\sim Actuelle / 2	+1m	0m
Actuel	Actuelle	0m	0m

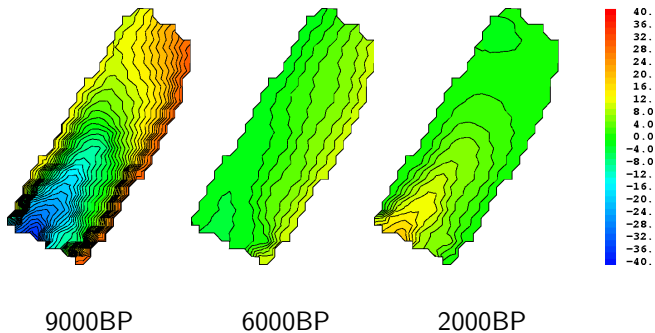
Résultats. (i)

- Profondeur de nappe.



Résultats. (ii)

- Différence de profondeur de nappe.



Conclusion

- Sur le retard de l'installation de la forêt guinéenne (9500 BP) : la nappe phréatique est trop profonde et les précipitations à elles seules ne sont pas suffisantes.
- La végétation a pu se conserver sous forme relique malgré la baisse des précipitations, grâce à la remontée du niveau marin (9000 BP - 2500 BP).
- La végétation sahélienne s'installe suite à une baisse des précipitations rédhibitoire (2500 BP).
- L'affleurement de la nappe ne suffit pas à conserver la végétation humide installée à l'occasion de la pulsation humide de 4000 BP - 2500 BP.

Perspectives

- Modélisation à l'échelle d'une Niaye.
- Raffinement du maillage aux abords des Niayes.
- Modélisation transitoire, de 9000BP à aujourd'hui ou sur une année.

Merci !